

где $\hat{\rho}' = \hat{\rho}' +$ — оператор переменной части плотности среды. Ввиду самосопряженности этого оператора, функции (1) связаны соотношением

$$D_{12}^{+-} = D_{21}^{-+} \quad (2)$$

(и, конечно, по-прежнему обладают свойством (92,9)).

Для газа невзаимодействующих фононов (см. IX, (24,10))

$$\hat{\rho}' = \hat{\rho}' + = \sum_{\mathbf{k}} i \left(\frac{\rho_0 k}{2u\mathcal{V}} \right)^{1/2} (\hat{c}_{\mathbf{k}} e^{i(\mathbf{k}\mathbf{r} - ukt)} - \hat{c}_{\mathbf{k}}^+ e^{-i(\mathbf{k}\mathbf{r} - ukt)}) \quad (3)$$

(ρ_0 — невозмущенная плотность, u — скорость звука). Подставив (3) в (1) и перейдя от суммирования к интегрированию, имеем

$$iD^{(0)-+}(t, \mathbf{r}) = \frac{\rho_0}{2u} \int \{ \langle \hat{c}_{\mathbf{k}}^+ \hat{c}_{\mathbf{k}} \rangle e^{i(\mathbf{k}\mathbf{r} - ukt)} + \langle \hat{c}_{\mathbf{k}} \hat{c}_{\mathbf{k}}^+ \rangle e^{-i(\mathbf{k}\mathbf{r} - ukt)} \} \frac{k d^3k}{(2\pi)^3},$$

или, заменив во втором члене переменную интегрирования $\mathbf{k} \rightarrow -\mathbf{k}$ и выразив средние значения через числа заполнения фононных состояний $N_{\mathbf{k}}$,

$$iD^{(0)-+}(t, \mathbf{r}) = \int \frac{\rho_0 k}{2u} \{ N_{\mathbf{k}} e^{-iukt} + (1 + N_{-\mathbf{k}}) e^{iukt} \} e^{i\mathbf{k}\mathbf{r}} \frac{d^3k}{(2\pi)^3}.$$

Подынтегральное выражение (без множителя $e^{i\mathbf{k}\mathbf{r}}$) есть уже компонента фурье-разложения по координатам. Разложив также и по времени, получим

$$iD^{(0)-+}(\omega, \mathbf{k}) = \frac{\pi\rho_0 k}{2} \{ N_{\mathbf{k}} \delta(\omega - uk) + (1 + N_{-\mathbf{k}}) \delta(\omega + uk) \}. \quad (4)$$

Для функции же $D^{(0)+-}$ имеем, согласно (2):

$$D^{(0)+-}(\omega, \mathbf{k}) = D^{(0)-+}(-\omega, -\mathbf{k}). \quad (5)$$

Еще две гриновские функции определяются как

$$iD_{12}^{-+} = \langle \hat{T} \hat{\rho}_1^+ \hat{\rho}_2^+ \rangle, \quad iD_{12}^{+-} = \langle \bar{T} \hat{\rho}_1^+ \hat{\rho}_2^+ \rangle. \quad (6)$$

При этом

$$D_{12}^{-+} = D_{21}^{--}, \quad D_{12}^{+-} = D_{21}^{++}. \quad (7)$$

Для невзаимодействующих фононов аналогичное вычисление дает (ср. задачу в IX, § 31)

$$D^{(0)--}(\omega, \mathbf{k}) = - [D^{(0)++}(\omega, \mathbf{k})]^* = \\ = \frac{\rho_0 k}{2u} \left[\frac{1}{\omega - uk + i0} - \frac{1}{\omega + uk - i0} \right] - 2\pi i [N_{\mathbf{k}} \delta(\omega - uk) + N_{-\mathbf{k}} \delta(\omega + uk)]. \quad (8)$$

В согласии с (7), $D^{(0)--}(\omega, \mathbf{k}) = D^{(0)--}(-\omega, -\mathbf{k})$.

Из (8) следует, что в координатном представлении функция $D^{(0)--}(t, \mathbf{r})$ удовлетворяет уравнению

$$\left(\frac{\partial^2}{\partial t^2} - u^2 \Delta \right) D^{(0)--}(t, \mathbf{r}) = \rho_0 \delta(t) \Delta \delta(\mathbf{r}), \quad (9)$$

заменяющему уравнение (92,14) для гриновских функций обычных частиц.

§ 93. Диаграммная техника для неравновесных систем

Всякая диаграммная техника основана на выделении из гамильтониана системы оператора взаимодействия: $\hat{H} = \hat{H}_0 + \hat{V}$, где \hat{H}_0 — гамильтониан системы невзаимодействующих частиц. Диаграммная техника есть теория возмущений по \hat{V} .

Ее построение для неравновесной системы осуществляется по тому же пути, по которому это делалось в равновесном случае, при $T=0^1$). Гриновская функция $G \equiv G^{--}$ выражается через $\hat{\Psi}$ -операторы в представлении взаимодействия (т. е. для идеального газа) формулой

$$iG_{12}^- = \langle \hat{S}^{-1} T [\hat{\Psi}_{01}^+ \hat{\Psi}_{02}^+ \hat{S}] \rangle, \quad (93,1)$$

где

$$\hat{S} \equiv \hat{S}(\infty, -\infty) = T \exp \left(-i \int_{-\infty}^{\infty} \hat{V}_0(t) dt \right), \quad (93,2)$$

а $\hat{V}_0(t)$ — оператор \hat{V} в представлении взаимодействия. Усреднение в (93,1) производится по некоторому состоянию системы невзаимодействующих частиц. Для дальнейшего будет удобнее предположить, что это состояние является стационарным и однородным, но не основным (мы увидим далее, что это начальное состояние можно исключить и сформулировать теорию так, что уравнения вообще не будут от него зависеть). В этом разница со случаем $T=0$, когда усреднение производится по основному состоянию. Это отличие очень существенно: усреднение оператора \hat{S}^{-1} уже нельзя отделить от усреднения остальных множителей (как это было сделано в IX, § 12, при переходе от (12,12) к (12,14)); дело в том, что неосновное состояние под влиянием оператора \hat{S}^{-1} переходит не само в себя, а в некоторую суперпозицию других возбужденных состояний (которые могут наглядно рассматриваться как результат всевозможных процессов взаимного рассеяния квазичастиц²).

Выражение (93,1) должно быть разложено по степеням \hat{V} . При этом удобно сначала преобразовать \hat{S}^{-1} , используя унитарность оператора \hat{S} :

$$\hat{S}^{-1} = \hat{S}^+ = \bar{T} \exp \left(i \int_{-\infty}^{\infty} \hat{V}(t) dt \right) \quad (93,3)$$

(использована также эрмитовость оператора \hat{V}); символ \bar{T} антихронологического упорядочения был уже введен в предыдущем параграфе.

¹) Дальнейшее изложение существенно опирается на изложение в IX, §§ 12, 13.

²) Заметим, что по такой же причине изложенная в IX, §§ 12, 13, диаграммная техника, вообще говоря, неприменима даже при $T=0$ в случае наличия внешних переменных полей (т. е. когда оператор \hat{V} зависит явно от времени уже в шредингеровском представлении): переменные поля возбуждают основное состояние системы. Подчеркнем в то же время, что развиваемая здесь техника пригодна и при наличии переменного поля.

Разложив \hat{S} и \hat{S}^{-1} в ряды и подставив их в (93,1), мы получим сумму различных членов, в каждом из которых надо произвести усреднение с помощью теоремы Вика, и каждому способу попарных сверток Ψ -операторов сопоставляется определенная диаграмма¹⁾.

Заметим прежде всего, что (как и в диаграммной технике при $T=0$, которую будем называть «обычной») следует учитывать только связанные диаграммы, не содержащие отсоединенных вакуумных петель. Вакуумные же петли взаимно сокращаются. В этом легко убедиться, рассмотрев несколько первых диаграмм, по которым можно усмотреть общий принцип такого сокращения.

Если все свертки, приводящие к связанной диаграмме, производятся внутри множителя $T\hat{\Psi}_1\hat{\Psi}_2^+\hat{S}$ в (93,1), то мы получим члены, изображающиеся описанными в IX, § 13, обычными диаграммами (разумеется, с другим конкретным видом функций, отвечающих сплошным линиям). Напомним, что речь идет здесь о диаграммах в координатном представлении; для неравновесных состояний (когда G -функции зависят от переменных X_1 и X_2 по отдельности) переход к импульсному представлению неудобен. Другие члены возникают от свертываний, в которых участвуют также и Ψ -операторы из $\hat{S}^{-1}=\hat{S}^+$. В каждом порядке теории возмущений они получаются из обычных членов заменой любого множителя \hat{V} , взятого из \hat{S} , на множитель \hat{V} из \hat{S}^+ . Эти члены изображаются диаграммами того же графического вида, но с несколько измененным правилом их прочтения. Эти изменения являются следствием трех обстоятельств: 1) в \hat{S}^+ операторы взаимодействия входят в виде $+i\hat{V}$ (вместо $-i\hat{V}$ в \hat{S}); 2) все Ψ -операторы в \hat{S}^+ стоят всегда левее операторов в произведении $T\hat{\Psi}_1\hat{\Psi}_2^+\hat{S}$; 3) внутри множителя \hat{S}^+ операторы упорядочены знаком \tilde{T} -произведения (вместо T).

Проследим, как эти изменения проявляются при построении диаграммной техники в простейшем случае—для системы частиц (скажем, фермионов), находящихся во внешнем поле $U(t, \mathbf{r}) \equiv U(X)$.

Члены первого порядка в разложении выражения (93,1):

$$\langle T\hat{\Psi}_1\hat{\Psi}_2^+ \left(-i \int \hat{\Psi}_3^+ U_3 \hat{\Psi}_3 d^4 X_3 \right) \rangle + \langle \tilde{T}i \int \hat{\Psi}_3^+ U_3 \hat{\Psi}_3 d^4 X_3 \cdot T\hat{\Psi}_1\hat{\Psi}_2^+ \rangle.$$

Для рассматриваемой здесь ситуации характерен второй член в этой сумме; при усреднении по основному состоянию должен был бы рассматриваться только первый член. В первом члене

¹⁾ Напомним, что в макроскопическом пределе справедливость теоремы Вика не связана с тем, по какому однородному стационарному состоянию производится усреднение—см. конец IX, § 13.

все четыре Ψ -оператора находятся под знаком T -произведения; их попарные свертки,

$$T \Psi_1 \Psi_2^+ (-i \Psi_3^+ U_3 \Psi_3), \tag{93,4}$$

дают множители $G_{32}^{(0) --}$ и $G_{13}^{(0) --}$. Во втором же члене сворачиваемые Ψ -операторы не упорядочены друг с другом знаком T или \bar{T} :

$$\bar{T} (i \Psi_3^+ U_3 \Psi_3) T (\Psi_1 \Psi_2^+); \tag{93,5}$$

их свертки дают множители $G_{32}^{(0) +-}$ и $G_{13}^{(0) --}$; кроме того, здесь стоит $+iU_3$ вместо $-iU_3$.

Введем графические элементы, отличающиеся от фигурировавших в обычной диаграммной технике дополнительными индексами $+$ или $-$ на концах линий. Пунктирные линии с индексами $+$ или $-$ на одном из концов (вершине диаграммы) означают множитель $+iU(X)$ или $-iU(X)$:

$$\text{-----} \begin{matrix} \bullet \\ + \end{matrix} = +iU(X) \quad \text{-----} \begin{matrix} \bullet \\ - \end{matrix} = -iU(X) \tag{93,6}$$

(ср. IX, § 19). Сплошным линиям с индексами \pm на обоих концах сопоставляются различные G -функции:

$$\begin{array}{ll} \begin{array}{c} 1- \quad 2- \\ \longleftarrow = iG_{12}^{(0) --} \end{array} & \begin{array}{c} 1+ \quad 2- \\ \longleftarrow = iG_{12}^{(0) +-} \end{array} \\ \begin{array}{c} 1+ \quad 2+ \\ \longleftarrow = iG_{12}^{(0) ++} \end{array} & \begin{array}{c} 1- \quad 2+ \\ \longleftarrow = iG_{12}^{(0) -+} \end{array} \end{array} \tag{93,7}$$

Цифры на концах линий нумеруют аргументы функций — переменные X_1, X_2 .

Тогда два члена (93,4—5) изобразятся диаграммами

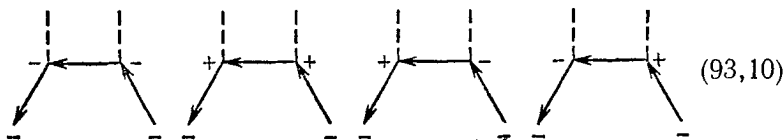
$$\begin{array}{c} \begin{array}{c} | \\ \swarrow \quad \searrow \\ 3- \quad 2- \\ \swarrow \quad \searrow \\ 1- \quad 2- \end{array} \quad \begin{array}{c} | \\ \swarrow \quad \searrow \\ 3+ \quad 2- \\ \swarrow \quad \searrow \\ 1- \quad 2- \end{array} \end{array} \tag{93,8}$$

Двум внешним концам сплошных линий приписываются индексы — соответственно тому, что речь идет о поправках в функции G^{--} . По переменным, отвечающим вершине диаграммы,

подразумевается интегрирование¹⁾. В аналитическом виде:

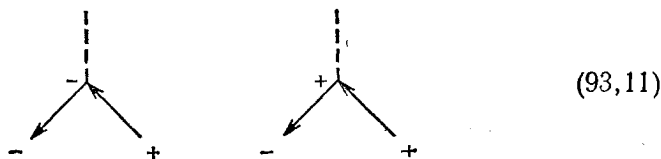
$$iG_{12}^{(1)---} = \int \{iG_{13}^{(0)---} - iG_{32}^{(0)---} (-iU_3) + iG_{13}^{(0)0+} + iG_{32}^{(0)0+} - iU_3\} d^4X_3. \quad (93,9)$$

В следующем, втором, порядке теории возмущений поправка в функции G^{--} дается четырьмя диаграммами:



(цифровые индексы опущены). Индекс \pm в каждой вершине диаграммы относится к концам всех трех сходящихся в ней линий.

Аналогичным образом, поправочные члены в других G -функциях изобразятся диаграммами с другими индексами у двух внешних концов сплошных линий. Так, для функции G^{-+} в первом порядке имеем две диаграммы:



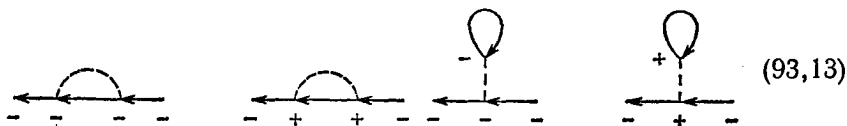
Таким образом, диаграммы в технике Келдыша получаются из диаграмм обычной техники приписыванием в их вершинах и свободных концах всеми возможными способами дополнительных индексов $+$ или $-$. Это правило остается в силе и в диаграммной технике при других типах взаимодействия.

Для системы с парным взаимодействием между частицами в обычной диаграммной технике внутренней пунктирной линии сопоставляется потенциал взаимодействия двух частиц. Теперь концам такой линии приписывается еще пара одинаковых индексов $+$ или $-$:

$$\begin{aligned} \begin{array}{c} 1+ \quad 2+ \\ \text{-----} \end{array} &= iU(X_1 - X_2) \equiv i\delta(t_1 - t_2)U(\mathbf{r}_1 - \mathbf{r}_2) \\ \begin{array}{c} 1- \quad 2- \\ \text{-----} \end{array} &= -iU(X_1 - X_2) \end{aligned} \quad (93,12)$$

¹⁾ Точнее — интегрирование по $dt d^3x$ и суммирование по паре одинаковых спиновых индексов. Последнее будем подразумевать ниже включенным в интегрирование по d^4X .

Так, поправка первого порядка в функции G^{--} для системы с парным взаимодействием изобразится суммой четырех диаграмм:



(вместо двух диаграмм IX, (13,13) обычной техники). Сплошной линией, замкнутой самой на себя, по-прежнему сопоставляется множитель $N_0(\mu, T)$ (плотность идеального газа) при любом знаке вершины.

Уже упоминалось, что диаграммная техника Келдыша применима также и к равновесным системам при $T \neq 0$. Предположим, что внешнее поле отсутствует и перейдем от координатного к импульсному представлению, разложив все G -функции в интегралы Фурье. Тогда, обычным образом, каждой линии на диаграммах приписывается определенный «4-импульс» и этим линиям сопоставляются, по тем же правилам, функции $U(Q)$, $G^{(0)}(P)$ в импульсном представлении.

При $T=0$ функция распределения Ферми

$$n_p = \begin{cases} 1, & p < p_F, \\ 0, & p > p_F. \end{cases}$$

Поэтому, согласно (92,20—21), для ферми-системы при $T=0$

$$G^{(0)-+}(P) = 0 \text{ при } p > p_F, \quad G^{(0)+-}(P) = 0 \text{ при } p < p_F$$

и все диаграммы для G^{--} , содержащие «плюсовые» вершины, обращаются тождественно в нуль. Таким образом, диаграммная техника Келдыша в применении к равновесным системам (в отличие от мацубаровской техники) непосредственно переходит при $T=0$ в обычную диаграммную технику.

§ 94. Собственно-энергетические функции

Как и всякая «разумная» диаграммная техника, техника Келдыша позволяет проводить суммирование диаграмм «блоками». Важнейшими такими блоками являются так называемые собственно-энергетические функции.

Напомним (см. IX, § 14), что это понятие возникает при рассмотрении диаграмм для гриновской функции, которые нельзя разделить на две части, соединенные лишь одной сплошной линией. Выделив множители $iG^{(0)}$, отвечающие двум концевым линиям такой диаграммы, представим ее (в координатном пред-